

$$\begin{aligned}
\frac{1}{J} \frac{\partial J \theta}{\partial t} + \frac{\partial \theta u}{\partial x} + \frac{\partial \theta (w - \dot{z})}{\partial z} &= 0; \\
\frac{1}{J} \frac{\partial J \rho \theta}{\partial t} + \frac{\partial \rho \theta u}{\partial x} + \frac{\partial \rho \theta (w - \dot{z})}{\partial z} &= 0; \\
\frac{1}{J} \frac{\partial J \rho \theta u}{\partial t} + \frac{\partial \rho \theta u^2}{\partial x} + \frac{\partial \rho \theta (w - \dot{z}) u}{\partial z} + \frac{\partial \delta P}{\partial x} + \rho_0 g \frac{\partial H_0}{\partial x} &= 0; \quad (1.1) \\
\frac{1}{J} \frac{\partial J \rho \theta w}{\partial t} + \frac{\partial \rho \theta u w}{\partial x} + \frac{\partial \rho \theta w (w - \dot{z})}{\partial z} + \frac{\partial \delta P}{\partial z} &= -(\rho - \rho_0) g; \\
\delta P &= c^2 (\theta - \theta_0);
\end{aligned}$$

$$\begin{aligned}
\frac{\partial h_0}{\partial t} + \frac{\partial h_0 U_0}{\partial x} &= 0; \\
\frac{\partial \rho_0 h_0}{\partial t} + \frac{\partial \rho_0 h_0 U_0}{\partial x} &= 0; \\
\frac{\partial \rho_0 h_0 U_0}{\partial t} + \frac{\partial \rho_0 U_0^2 h_0}{\partial x} + \frac{g}{2} \frac{\partial \rho_0 h_0^2}{\partial x} + \rho_0 h_0 g \frac{\partial B}{\partial x} &= 0; \quad (1.2)
\end{aligned}$$

Граничные условия сверху и снизу

$$\begin{aligned}
\delta P|_H &= -\rho_0 g (H_0 - H) \\
\left(\frac{\partial H}{\partial t} + u \cdot \frac{\partial H}{\partial x} - w \right) \Big|_H &= 0 \quad (1.3)
\end{aligned}$$

$$\left(\frac{\partial B}{\partial x} \cdot u - w \right) \Big|_B = 0 \quad (1.4)$$

В приближении буссинеска система (1.1) будет иметь следующий вид:

$$\begin{aligned}
\frac{1}{J} \frac{\partial J \theta}{\partial t} + \frac{\partial \theta u}{\partial x} + \frac{\partial \theta (w - \dot{z})}{\partial z} &= 0; \\
\frac{1}{J} \frac{\partial J \rho \theta}{\partial t} + \frac{\partial \rho \theta u}{\partial x} + \frac{\partial \rho \theta (w - \dot{z})}{\partial z} &= 0; \\
\frac{1}{J} \frac{\partial J \theta u}{\partial t} + \frac{\partial \theta u^2}{\partial x} + \frac{\partial \theta (w - \dot{z}) u}{\partial z} + \frac{1}{\rho_0} \frac{\partial \delta P}{\partial x} + g \frac{\partial H_0}{\partial x} &= 0; \quad (1.5) \\
\frac{1}{J} \frac{\partial J \theta w}{\partial t} + \frac{\partial \theta u w}{\partial x} + \frac{\partial \theta w (w - \dot{z})}{\partial z} + \frac{1}{\rho_0} \frac{\partial \delta P}{\partial z} &= -\frac{(\rho - \rho_0)}{\rho_0} g; \\
\delta P &= c^2 (\theta - \theta_0);
\end{aligned}$$

Характеристическую форму запишем относительно переменных $\delta u, \delta w, \delta \theta, \delta \rho$. Вначале приведем предыдущую систему к простой форме:

$$\begin{aligned}
& \frac{\partial \theta}{\partial t} + u \frac{\partial \theta}{\partial x} + \theta \frac{\partial u}{\partial x} + (w - \dot{z}) \frac{\partial \theta}{\partial z} + \theta \frac{\partial w}{\partial z} = 0; \\
& \frac{\partial u}{\partial t} + u \frac{\partial u}{\partial x} + (w - \dot{z}) \frac{\partial u}{\partial z} + \frac{1}{\rho_0 \theta} \frac{\partial \delta p}{\partial x} = -\frac{g}{\theta} \frac{\partial H_0}{\partial x}; \\
& \frac{\partial w}{\partial t} + u \frac{\partial w}{\partial x} + (w - \dot{z}) \frac{\partial w}{\partial z} + \frac{1}{\rho_0 \theta} \frac{\partial \delta p}{\partial z} = -\frac{\delta \rho}{\rho_0 \theta} g; \\
& \frac{\partial \delta \rho}{\partial t} + u \frac{\partial \delta \rho}{\partial x} + (w - \dot{z}) \frac{\partial \delta \rho}{\partial z} = 0; \\
& \delta \rho = (\rho - \rho_0); \quad \delta p = c^2 (\theta - \theta_0); \quad \theta_0 = 1;
\end{aligned}$$

где

$$\begin{aligned}
\delta u &= u - U_0 \\
\delta w &= w - W_0 \\
\delta \theta &= \theta - \theta_0 \\
\delta \rho &= \rho - \rho_0
\end{aligned} \quad (1.6)$$

Представим ее в виде

$$\begin{aligned}
& \frac{\partial \delta \theta}{\partial t} + u \frac{\partial \delta \theta}{\partial x} + \theta \frac{\partial \delta u}{\partial x} + (w - \dot{z}) \frac{\partial \delta \theta}{\partial z} + \theta \frac{\partial \delta w}{\partial z} = F_\theta = -\theta \frac{\partial U_0}{\partial x} - \theta \frac{\partial W_0}{\partial z}; \\
& \frac{\partial \delta u}{\partial t} + u \frac{\partial \delta u}{\partial x} + (w - \dot{z}) \frac{\partial \delta u}{\partial z} + \frac{c^2}{\rho_0 \theta} \frac{\partial \delta \theta}{\partial x} = F_u = -\frac{g}{\theta} \frac{\partial H_0}{\partial x} - \frac{\partial U_0}{\partial t} - u \frac{\partial U_0}{\partial x} - (w - \dot{z}) \frac{\partial U_0}{\partial z}; \\
& \frac{\partial \delta w}{\partial t} + u \frac{\partial \delta w}{\partial x} + (w - \dot{z}) \frac{\partial \delta w}{\partial z} + \frac{c^2}{\rho_0 \theta} \frac{\partial \delta \theta}{\partial z} = F_w = -\frac{\delta \rho}{\rho_0 \theta} g - \frac{\partial W_0}{\partial t} - u \frac{\partial W_0}{\partial x} - (w - \dot{z}) \frac{\partial W_0}{\partial z}; \\
& \frac{\partial \delta \rho}{\partial t} + u \frac{\partial \delta \rho}{\partial x} + (w - \dot{z}) \frac{\partial \delta \rho}{\partial z} = 0; \\
& \delta \rho = (\rho - \rho_0); \quad \delta \theta = (\theta - \theta_0); \quad \theta_0 = 1;
\end{aligned} \quad (1.7)$$

Матричная форма

$$\frac{\partial \vec{\varphi}}{\partial t} + \mathbf{A}_x \frac{\partial \vec{\varphi}}{\partial x} + \mathbf{A}_z \frac{\partial \vec{\varphi}}{\partial z} = \vec{F}; \quad \vec{\varphi} = (\delta \theta, \delta u, \delta w, \delta \rho)^T;$$

(1.8)

Где

$$\mathbf{A}_x = \begin{pmatrix} u & \theta & 0 & 0 \\ \frac{c^2}{\rho_0 \theta} & u & 0 & 0 \\ 0 & 0 & u & 0 \\ 0 & 0 & 0 & u \end{pmatrix}; \quad \mathbf{A}_z = \begin{pmatrix} (w-\dot{z}) & 0 & \theta & 0 \\ 0 & (w-\dot{z}) & 0 & 0 \\ \frac{c^2}{\rho_0 \theta} & 0 & (w-\dot{z}) & 0 \\ 0 & 0 & 0 & (w-\dot{z}) \end{pmatrix}; \quad (1.9)$$

Собственные числа матрицы \mathbf{A}_x , ее левые собственные векторы и локальные римановы инварианты

$$\begin{aligned} \lambda_{1,2}^x &= u \pm c/\sqrt{\rho_0}; \quad \lambda_{3,4}^x = u; \\ \vec{l}_1^x &= \left(\frac{c}{\sqrt{\rho_0 \theta}}, 1, 0, 0 \right); \vec{l}_2^x = \left(-\frac{c}{\sqrt{\rho_0 \theta}}, 1, 0, 0 \right); \vec{l}_3^x = (0, 0, 1, 0); \vec{l}_4^x = (0, 0, 0, 1); \\ I_1^x &= \delta u + \frac{c}{\sqrt{\rho_0 \theta}} \delta \theta; \quad I_2^x = \delta u - \frac{c}{\sqrt{\rho_0 \theta}} \delta \theta; \quad I_3^x = \delta w; \quad I_4^x = \delta \rho; \end{aligned} \quad (1.10)$$

Для матрицы \mathbf{A}_z соответственно находим

$$\begin{aligned} \lambda_{1,2}^z &= (w-\dot{z}) \pm c/\sqrt{\rho_0}; \quad \lambda_{3,4}^z = (w-\dot{z}); \\ \vec{l}_1^z &= \left(\frac{c}{\sqrt{\rho_0 \theta}}, 0, 1, 0 \right); \vec{l}_2^z = \left(-\frac{c}{\sqrt{\rho_0 \theta}}, 0, 1, 0 \right); \vec{l}_3^z = (0, 1, 0, 0); \vec{l}_4^z = (0, 0, 0, 1); \\ I_1^z &= \delta w + \frac{c}{\sqrt{\rho_0 \theta}} \delta \theta; \quad I_2^z = \delta w - \frac{c}{\sqrt{\rho_0 \theta}} \delta \theta; \quad I_3^z = \delta u; \quad I_4^z = \delta \rho; \end{aligned} \quad (1.11)$$

Характеристические уравнения

$$\frac{\partial \delta I_k^x}{\partial t} + \lambda_k^x \cdot \frac{\partial \delta I_k^x}{\partial z} = G_k^x; \quad \frac{\partial \delta I_k^z}{\partial t} + \lambda_k^z \cdot \frac{\partial \delta I_k^z}{\partial z} = G_k^z; \quad k = 1, 2, 3, 4 \quad (1.12)$$

относительно величин $\delta u, \delta w, \delta \theta, \delta \rho$ будут использоваться на фазе 2.

Уравнения мелкой воды не содержат вертикальных скоростей. Восполнение недостающей информации осуществляется следующим образом.

$$\begin{aligned}
(W_{0B})_c^{n+1/2} &= \frac{U_R^{n+1/2} + U_L^{n+1/2}}{2} \cdot \frac{B_R - B_L}{\Delta x}; \\
(W_{0T})_c^{n+1/2} &= (W_{0B})_c^{n+1/2} - \frac{h_R^{n+1/2} + h_L^{n+1/2}}{2} \cdot \frac{(U_R^n + U_R^{n+1}) - (U_L^n + U_L^{n+1})}{2\Delta x};
\end{aligned}
\tag{1.13}$$

Откуда находим

$$W_c^{n+1/2}(z) = (W_{0T})_c^{n+1/2} \cdot \left(\frac{z - B_c}{H_c^{n+1/2} - B_c} \right) - (W_{0B})_c^{n+1/2} \cdot \left(\frac{z - H_c^{n+1/2}}{H_c^{n+1/2} - B_c} \right);
\tag{1.14}$$

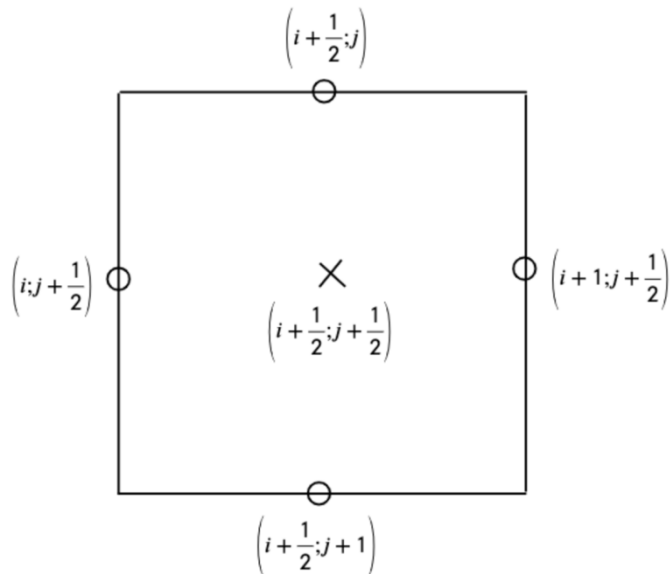
Аналогично для целых временных слоев

$$W_c^n(z) = (W_{0T})_c^n \cdot \left(\frac{z - B_c}{H_c^n - B_c} \right) - (W_{0B})_c^n \cdot \left(\frac{z - H_c^n}{H_c^n - B_c} \right);
\tag{1.15}$$

Кроме консервативных вертикальных скоростей нам понадобятся и их потоковые значения. По аналогии с консервативными переменными запишем

$$\begin{aligned}
W_R^n(z) &= (W_{0T})_R^n \cdot \left(\frac{z - B_R}{H_R^n - B_R} \right) - (W_{0B})_R^n \cdot \left(\frac{z - H_R^n}{H_R^n - B_R} \right); \\
W_L^n(z) &= (W_{0T})_L^n \cdot \left(\frac{z - B_L}{H_L^n - B_L} \right) - (W_{0B})_L^n \cdot \left(\frac{z - H_L^n}{H_L^n - B_L} \right);
\end{aligned}$$

Используемые в алгоритме пространственные индексы:



Алгоритм решения уравнений:

0. Начальные данные:

$$\begin{aligned} (\dot{z})_{i+1/2,1}^0 &= w_{i+1/2,1}^0 - \frac{(u_{i+1,1}^0 + u_{i,1}^0)}{2} \frac{(z_{i+1,1}^0 - z_{i,1}^0)}{\Delta x} \\ w_{i+1/2,N_z}^0 &= u_{i+1/2,N_z}^0 \frac{(z_{i+1,N_z}^0 - z_{i,N_z}^0)}{\Delta x} \end{aligned}$$

Если используется сигма-сетка, то:

$$\dot{z}_{i+1/2,k} = (N_z - k) \dot{z}_{i+1/2,1} / (N_z - 1), k = \overline{2, N_z - 1}$$

Для граничных условий, сохраняем значения инвариантов в мелкой воде:

$$\begin{aligned} (I_1^{sw})_L^0 &= (U_0)_1^0 + \frac{g}{\sqrt{g(h_0)_{1+1/2}^0}} (H_0)_1^0 \\ (I_2^{sw})_R^0 &= (U_0)_{N_x}^0 - \frac{g}{\sqrt{g(h_0)_{N_x-1/2}^0}} (H_0)_{N_x}^0 \end{aligned} \quad (1.16)$$

И в негидростатике:

$$\begin{aligned} (I_1^x)_{L,k}^0 &= \delta u_{1,k}^0 + \frac{c}{\sqrt{\rho_0} \theta_{1,k}^0} \delta \theta_{1,k}^0 \\ (I_2^x)_{R,k}^0 &= \delta u_{N_x,k}^0 - \frac{c}{\sqrt{\rho_0} \theta_{N_x,k}^0} \delta \theta_{N_x,k}^0 \end{aligned} \quad (1.17)$$

И еще значения $c_L^0 = \sqrt{g(h_0)_1^0}, c_R^0 = \sqrt{g(h_0)_{N_x}^0}$

1. Фаза 1 по мелкой воде (1.2):

$$\begin{aligned} \frac{(h_0)_{i+1/2}^{n+1/2} - (h_0)_{i+1/2}^n}{\tau/2} + \frac{(h_0 U_0)_{i+1}^n - (h_0 U_0)_i^n}{\Delta x} &= 0 \\ \frac{(\rho_0 h_0)_{i+1/2}^{n+1/2} - (\rho_0 h_0)_{i+1/2}^n}{\tau/2} + \frac{(\rho_0 h_0 U_0)_{i+1}^n - (\rho_0 h_0 U_0)_i^n}{\Delta x} &= 0 \\ \frac{(\rho_0 h_0 U_0)_{i+1/2}^{n+1/2} - (\rho_0 h_0 U_0)_{i+1/2}^n}{\tau/2} + \frac{(\rho_0 h_0 U_0^2)_{i+1}^n - (\rho_0 h_0 U_0^2)_i^n}{\Delta x} + \\ + g \frac{(h_0)_{i+1}^n + (h_0)_i^n}{2} \frac{(\rho_0)_{i+1}^n + (\rho_0)_i^n}{2} \frac{(H_0)_{i+1}^n - (H_0)_i^n}{\Delta x} + \frac{g}{2} \frac{(h_0^2)_{i+1}^n + (h_0^2)_i^n}{2} \frac{(\rho_0)_{i+1}^n - (\rho_0)_i^n}{\Delta x} &= 0 \end{aligned}$$

Находим $(h_0)_{i+1/2}^{n+1/2}, (\rho_0)_{i+1/2}^{n+1/2}, (U_0)_{i+1/2}^{n+1/2}$. (Во всех текущих тестах $\rho_0 = const$)

2. Находим положение сетки на полуцелом шаге по времени:

$$z_{i+1/2,k}^{n+1/2} = z_{i+1/2,k}^n + \frac{\tau}{2} \dot{z}_{i+1/2,k}^n$$

3. Фаза 1 для системы (1.1):

Введем следующие обозначения:

$$\Delta z_c = z_{i+1/2,k} - z_{i+1/2,k+1}$$

$$\Delta z_R = z_{i+1,k} - z_{i+1,k+1}$$

$$\Delta z_L = z_{i,k} - z_{i,k+1}$$

$$\Delta z_T = z_{i+1,k} - z_{i,k}$$

$$\Delta z_B = z_{i+1,k+1} - z_{i,k+1}$$

$$\Delta V = \Delta z_c \Delta x$$

$$\begin{aligned} & \frac{(\theta \Delta V)_{i+1/2,k+1/2}^{n+1/2} - (\theta \Delta V)_{i+1/2,k+1/2}^n}{\tau / 2} + \left((\theta u)_{i+1,k+1/2}^n \Delta z_R^n - (\theta u)_{i,k+1/2}^n \Delta z_L^n \right) - \\ & - \left((\theta u)_{i+1/2,k}^n \Delta z_T^n - (\theta u)_{i+1/2,k+1}^n \Delta z_B^n \right) + \\ & + \left((\theta(w - \dot{z}))_{i+1/2,k}^n - (\theta(w - \dot{z}))_{i+1/2,k+1}^n \right) \Delta x = 0 \end{aligned}$$

$$\begin{aligned} & \frac{(\rho \theta \Delta V)_{i+1/2,k+1/2}^{n+1/2} - (\rho \theta \Delta V)_{i+1/2,k+1/2}^n}{\tau / 2} + \left((\rho \theta u)_{i+1,k+1/2}^n \Delta z_R^n - (\rho \theta u)_{i,k+1/2}^n \Delta z_L^n \right) - \\ & - \left((\rho \theta u)_{i+1/2,k}^n \Delta z_T^n - (\rho \theta u)_{i+1/2,k+1}^n \Delta z_B^n \right) + \\ & + \left((\rho \theta(w - \dot{z}))_{i+1/2,k}^n - (\rho \theta(w - \dot{z}))_{i+1/2,k+1}^n \right) \Delta x = 0 \end{aligned}$$

$$\begin{aligned} & \frac{(\theta u \Delta V)_{i+1/2,k+1/2}^{n+1/2} - (\theta u \Delta V)_{i+1/2,k+1/2}^n}{\tau / 2} + \left((\theta u^2)_{i+1,k+1/2}^n + \frac{c^2}{\rho_0} (\theta_{i+1,k+1/2}^n - \theta_0) + g(H_0)_{i+1}^n \right) \Delta z_R^n - \\ & - \left((\theta u^2)_{i,k+1/2}^n + \frac{c^2}{\rho_0} (\theta_{i,k+1/2}^n - \theta_0) + g(H_0)_i^n \right) \Delta z_L^n - \\ & - \left((\theta u^2)_{i+1/2,k}^n + \frac{c^2}{\rho_0} (\theta_{i+1/2,k}^n - \theta_0) + g(H_0)_{i+1/2}^n \right) \Delta z_T^n + \\ & + \left((\theta u^2)_{i+1/2,k+1}^n + \frac{c^2}{\rho_0} (\theta_{i+1/2,k+1}^n - \theta_0) + g(H_0)_{i+1/2}^n \right) \Delta z_B^n + \\ & + \left((\theta u(w - \dot{z}))_{i+1/2,k}^n - (\theta u(w - \dot{z}))_{i+1/2,k+1}^n \right) \Delta x = 0 \end{aligned}$$

$$\begin{aligned} & \frac{(\theta w \Delta V)_{i+1/2,k+1/2}^{n+1/2} - (\theta w \Delta V)_{i+1/2,k+1/2}^n}{\tau / 2} + \left((\theta u w)_{i+1,k+1/2}^n \Delta z_R^n - (\theta u w)_{i,k+1/2}^n \Delta z_L^n \right) - \\ & - \left((\theta u w)_{i+1/2,k}^n \Delta z_T^n - (\theta u^2)_{i+1/2,k+1}^n \Delta z_B^n \right) + \\ & + \left((\theta u(w - \dot{z}))_{i+1/2,k}^n - (\theta u(w - \dot{z}))_{i+1/2,k+1}^n \right) \Delta x = - \left(g \left(\frac{\rho}{\rho_0} - 1 \right) \Delta V \right)_{i+1/2,k+1}^n \end{aligned}$$

Находим $\theta_{i+1/2,k+1/2}^{n+1/2}$, $u_{i+1/2,k+1/2}^{n+1/2}$, $w_{i+1/2,k+1/2}^{n+1/2}$, $\rho_{i+1/2,k+1/2}^{n+1/2}$

4. Фаза 2 по мелкой воде (1.2):

Находим $(h_0)_{i+1/2}^{n+1}, (\rho_0)_{i+1/2}^{n+1}, (U_0)_{i+1/2}^{n+1}$

Граничные условия:

Дополняем пришедшие на границу инварианты условиями (1.16). Полученную систему разрешаем аналогично внутренним граням.

5. Вычисляем вертикальные скорости в мелкой воде согласно формулам (1.13)-(1.15):

$$(W_B)_{i+1/2}^n = (U_0)_{i+1/2}^n \frac{z_{i+1,N_z}^n - z_{i,N_z}^n}{\Delta x}$$

$$(W_B)_{i+1/2}^{n+1/2} = (U_0)_{i+1/2}^{n+1/2} \frac{z_{i+1,N_z}^n - z_{i,N_z}^n}{\Delta x}$$

$$(W_T)_{i+1/2}^n = (W_B)_{i+1/2}^n - \frac{(h_0)_{i+1}^n + (h_0)_i^n}{2} \frac{(U_0)_{i+1}^n - (U_0)_i^n}{\Delta x}$$

$$(W_T)_{i+1/2}^{n+1/2} = (W_B)_{i+1/2}^{n+1/2} - \frac{(h_0)_{i+1}^n + (h_0)_{i+1}^{n+1} + (h_0)_i^n + (h_0)_i^{n+1}}{4} \frac{(U_0)_{i+1}^n + (U_0)_{i+1}^{n+1} - (U_0)_i^n - (U_0)_i^{n+1}}{2\Delta x}$$

$$(W_B)_i^* = \frac{(W_B)_{i+1/2}^* + (W_B)_{i-1/2}^*}{2}$$

$$(W_T)_i^* = \frac{(W_T)_{i+1/2}^* + (W_T)_{i-1/2}^*}{2}$$

И сами вертикальные скорости во всех слоях определяются по следующим формулам:

$$(W_0)_{\bullet,k+1/2}^* = \frac{\left((W_T)_\bullet^* \left(\frac{z_{\bullet,k+1}^* + z_{\bullet,k}^*}{2} - z_{\bullet,N_z}^* \right) + (W_B)_\bullet^* \left((H_0)_\bullet^* - \frac{z_{\bullet,k+1}^* + z_{\bullet,k}^*}{2} \right) \right)}{(h_0)_\bullet^*}$$

$$(W_0)_{\bullet,k}^* = \frac{\left((W_T)_\bullet^* (z_{\bullet,k}^* - z_{\bullet,N_z}^*) + (W_B)_\bullet^* ((H_0)_\bullet^* - z_{\bullet,k}^*) \right)}{(h_0)_\bullet^*}$$

(1.18)

6. Вычисляем переносимые величины $\delta\theta, \delta u, \delta w, \delta\rho$ согласно определениям в (1.6).

7. Фаза 2 для системы (1.1) по направлению оси ОХ:

Перенос инвариантов (1.10), для внутренних узлов будет полный набор инвариантов, из которых найдем $\delta\theta_{i,k+1/2}^{n+1}, \delta u_{i,k+1/2}^{n+1}, \delta w_{i,k+1/2}^{n+1}, \delta\rho_{i,k+1/2}^{n+1}$

Граничные условия:

Дополняем пришедшие на границу инварианты условиями (1.17), система уравнений на границе с данными условиями становится полной, разрешаем ее с учетом

$$\delta\theta|_\Gamma = 0$$

8. Фаза 3 для (1.2):

Аналогично фазе 1, находим $(h_0)_{i+1/2}^{n+1}, (U_0)_{i+1/2}^{n+1}, (\rho_0)_{i+1/2}^{n+1}$

$$(H_0)_*^{n+1} = (h_0)_*^{n+1} + B_*^{n+1}$$

9. Вычисляем вертикальные скорости в мелкой воде на новом временном слое, аналогично пункту (5) алгоритма. Вычислены $(W_0)_{*,*}^{n+1}$

10. Фаза 2 для системы (1.1) по направлению оси OZ:

Перенос инвариантов (1.11), для внутренних узлов будет полный набор инвариантов, из которых найдем $\delta\theta_{i+1/2,k}^{n+1}, \delta u_{i+1/2,k}^{n+1}, \delta w_{i+1/2,k}^{n+1}, \delta\rho_{i+1/2,k}^{n+1}$

На нижней границе:

$u_{i+1/2,N_z}^{n+1}, \rho_{i+1/2,N_z}^{n+1}$ - находятся из 2го и 4го инварианта соответственно.

Инвариант (I_1^z) на нижнюю границу не приходит, вместо него используем условие (1.4):

$$\left(\frac{\partial B}{\partial x}\right)_{i+1/2} \cdot u_{i+1/2,N_z}^{n+1} - w_{i+1/2,N_z}^{n+1} = 0$$

Зная $\delta u_{i+1/2,N_z}^{n+1}, (U_0)_{i+1/2}^{n+1}$, находим

$$\delta w_{i+1/2,N_z}^{n+1} = \left(\delta u_{i+1/2,N_z}^{n+1} + (U_0)_{i+1/2}^{n+1} \right) \frac{z_{i+1,N_z}^{n+1} - z_{i,N_z}^{n+1}}{\Delta x} - (W_0)_{i+1/2,N_z}^{n+1}$$

Затем из $(I_2^z)_{i+1/2,N_z}^{n+1}$ находим

$$\delta\theta = \frac{\left((I_2^z)_{i+1/2,N_z}^{n+1} - \delta w_{i+1/2,N_z}^{n+1} \right)}{-\left(\frac{c}{\sqrt{\rho_0} \theta} \right)_{i+1/2,N_z-1/2}^{n+1/2}}$$

На верхней границе:

$\delta u_{i+1/2,1}^{n+1}, \delta\rho_{i+1/2,1}^{n+1}$ - находятся из 2го и 4го инварианта соответственно.

Уравнение на высоту из (1.3) - представляет собой уравнение переноса, ведем $\delta H = H - H_0$ и запишем условие (1.3) через δH :

$$\frac{\partial \delta H}{\partial t} + (U_0 + \delta u|_H) \cdot \frac{\partial \delta H}{\partial x} = w|_H - \frac{\partial H_0}{\partial t} + u|_H \cdot \frac{\partial H_0}{\partial x}$$

Найдем потоковые величины δH_i^{n+1} по второй фазе схемы КАБАРЕ:

$$\delta H_i^{n+1} = \begin{cases} 2\delta H_{i+1/2}^{n+1/2} - \delta H_{i+1}^n, & \text{if } (\delta u_{i+1/2,1}^{n+1} + (U_0)_{i+1/2}^{n+1} + \delta u_{i-1/2,1}^{n+1} + (U_0)_{i-1/2}^{n+1}) < -\varepsilon \\ 2\delta H_{i-1/2}^{n+1/2} - \delta H_{i-1}^n, & \text{if } (\delta u_{i+1/2,1}^{n+1} + (U_0)_{i+1/2}^{n+1} + \delta u_{i-1/2,1}^{n+1} + (U_0)_{i-1/2}^{n+1}) > \varepsilon \\ 0.5 \cdot (\delta H_{i-1/2}^{n+1/2} + \delta H_{i+1/2}^{n+1/2}) \end{cases}$$

Со стандартной процедурой монотонизации.

Найдем потоковые высоты:

$$H_i^{n+1} = (\delta H)_i^{n+1} + (H_0)_i^{n+1}$$

Новые потоковые высоты находятся следующим образом (сигма сетка):

$$z_{i,k}^{n+1} = z_{i,N_z}^{n+1} + (z_{i,1}^{n+1} - z_{i,N_z}^{n+1}) * (N_z - k) / (N_z - 1)$$

Зная $\delta u_{i+1/2,1}^{n+1}, (U_0)_{i+1/2}^{n+1}$, найдем потоковые высоты $z_{i,1}^{n+1}$ из условия непротекания через верхнюю границу (1.3), по стандартной второй фазе схемы КАБАРЕ.

Из условия на давление (1.3) получаем следующие разностные уравнения:

$$c^2 \delta \theta_{i+1/2,1}^{n+1} = -\rho_0 g \left((H_0)_{i+1/2}^{n+1} - z_{i+1/2,1}^{n+1} \right) \\ \dot{z}_{i+1/2,1}^{n+1} + \frac{\left(\delta u_{i+1,1+1/2}^{n+1} + (U_0)_{i+1}^{n+1} \right) + \left(\delta u_{i,1+1/2}^{n+1} + (U_0)_i^{n+1} \right)}{2} \cdot \frac{(z_{i+1,1}^{n+1} - z_{i,1}^{n+1})}{\Delta x} = \delta w_{i+1/2,1}^{n+1} + (W_0)_{i+1/2,1}^{n+1} \quad (1.19)$$

$$\text{На верхнюю границу приходит } (I_1^z)_{i+1/2,1}^{n+1} = \delta w_{i+1/2,1}^{n+1} + \left(\frac{c_0}{\sqrt{\rho_0} \theta} \right)_{i+1/2,1+1/2}^{n+1/2} \delta \theta_{i+1/2,1}^{n+1} \quad (1.20)$$

Учитывая, что $\dot{z}_{i+1/2,1}^{n+1} = \frac{z_{i+1/2,1}^{n+1} - z_{i+1/2,1}^{n+1/2}}{\tau/2}$ и формулу (1.18),

получим следующую систему линейных уравнений относительно неизвестных:

$$\delta \theta_{i+1/2,1}^{n+1}, z_{i+1/2,1}^{n+1}, \delta w_{i+1/2,1}^{n+1}, (W_0)_{i+1/2,1}^{n+1}$$

$$\left\{ \begin{aligned}
& \left(I_1^z \right)_{i+1/2,1}^{n+1} = \delta w_{i+1/2,1}^{n+1} + \left(\frac{c_0}{\sqrt{\rho_0 \theta}} \right)_{i+1/2,1+1/2}^{n+1/2} \delta \theta_{i+1/2,1}^{n+1} \\
& c^2 \delta \theta_{i+1/2,1}^{n+1} = -\rho_0 g \left((H_0)_{i+1/2}^{n+1} - z_{i+1/2,1}^{n+1} \right) \\
& \frac{z_{i+1/2,1}^{n+1} - z_{i+1/2,1}^{n+1/2}}{\tau / 2} + \frac{\left(\delta u_{i+1,1+1/2}^{n+1} + (U_0)_{i+1}^{n+1} \right) + \left(\delta u_{i,1+1/2}^{n+1} + (U_0)_i^{n+1} \right) \left(z_{i+1,1}^{n+1} - z_{i,1}^{n+1} \right)}{2 \Delta x} = \delta w_{i+1/2,1}^{n+1} + (W_0)_{i+1/2,1}^{n+1} \\
& (W_0)_{i+1/2,1}^{n+1} = \frac{\left((W_T)_{i+1/2}^{n+1} \left(z_{i+1/2,1}^{n+1} - z_{i+1/2,N_z}^{n+1} \right) + (W_B)_{i+1/2}^{n+1} \left((H_0)_{i+1/2}^{n+1} - z_{i+1/2,1}^{n+1} \right) \right)}{(h_0)_{i+1/2}^{n+1}} \\
& \delta \theta_{i+1/2,1}^{n+1} = -\frac{\rho_0 g}{c^2} \left((H_0)_{i+1/2}^{n+1} - z_{i+1/2,1}^{n+1} \right) \\
& \delta w_{i+1/2,1}^{n+1} = \left(I_1^z \right)_{i+1/2,1}^{n+1} + \left(\frac{c_0}{\sqrt{\rho_0 \theta}} \right)_{i+1/2,1+1/2}^{n+1/2} \left(\frac{\rho_0 g}{c^2} \left((H_0)_{i+1/2}^{n+1} - z_{i+1/2,1}^{n+1} \right) \right) \\
& \frac{z_{i+1/2,1}^{n+1} - z_{i+1/2,1}^{n+1/2}}{\tau / 2} + \frac{\left(\delta u_{i+1,1+1/2}^{n+1} + (U_0)_{i+1}^{n+1} \right) + \left(\delta u_{i,1+1/2}^{n+1} + (U_0)_i^{n+1} \right) \left(z_{i+1,1}^{n+1} - z_{i,1}^{n+1} \right)}{2 \Delta x} = \\
& \quad = \left(I_1^z \right)_{i+1/2,1}^{n+1} + \left(\frac{c_0}{\sqrt{\rho_0 \theta}} \right)_{i+1/2,1+1/2}^{n+1/2} \left(\frac{\rho_0 g}{c^2} \left((H_0)_{i+1/2}^{n+1} - z_{i+1/2,1}^{n+1} \right) \right) + (W_0)_{i+1/2,1}^{n+1} \\
& (W_0)_{i+1/2,1}^{n+1} = \frac{\left((W_T)_{i+1/2}^{n+1} - (W_B)_{i+1/2}^{n+1} \right) z_{i+1/2,1}^{n+1} + \left((W_B)_{i+1/2}^{n+1} (H_0)_{i+1/2}^{n+1} - (W_T)_{i+1/2}^{n+1} \left(z_{i+1/2,N_z}^{n+1} \right) \right)}{(h_0)_{i+1/2}^{n+1}} \\
& z_{i+1/2,1}^{n+1} = \left[z_{i+1/2,1}^{n+1/2} + \tau / 2 \left(\left(I_1^z \right)_{i+1/2,1}^{n+1} + \left(\frac{c_0}{\sqrt{\rho_0 \theta}} \right)_{i+1/2,1+1/2}^{n+1/2} \left(\frac{\rho_0 g}{c^2} (H_0)_{i+1/2}^{n+1} \right) + \right. \right. \\
& \quad \left. \left. + \frac{\left((W_B)_{i+1/2}^{n+1} (H_0)_{i+1/2}^{n+1} - (W_T)_{i+1/2}^{n+1} \left(z_{i+1/2,N_z}^{n+1} \right) \right)}{(h_0)_{i+1/2}^{n+1}} - \frac{\left(\delta u_{i+1,1+1/2}^{n+1} + (U_0)_{i+1}^{n+1} \right) + \left(\delta u_{i,1+1/2}^{n+1} + (U_0)_i^{n+1} \right) \left(z_{i+1,1}^{n+1} - z_{i,1}^{n+1} \right)}{2 \Delta x} \right) \right. \\
& \quad \left. / \left(1 + \left(\frac{c_0}{\sqrt{\rho_0 \theta}} \right)_{i+1/2,1+1/2}^{n+1/2} \frac{\tau \rho_0 g}{2 c^2} - \frac{\tau}{2} \frac{\left((W_T)_{i+1/2}^{n+1} - (W_B)_{i+1/2}^{n+1} \right)}{(h_0)_{i+1/2}^{n+1}} \right) \right] \\
& \delta \theta_{i+1/2,1}^{n+1} = -\frac{\rho_0 g}{c^2} \left((H_0)_{i+1/2}^{n+1} - z_{i+1/2,1}^{n+1} \right) \\
& \delta w_{i+1/2,1}^{n+1} = \left(I_1^z \right)_{i+1/2,1}^{n+1} + \left(\frac{c_0}{\sqrt{\rho_0 \theta}} \right)_{i+1/2,1+1/2}^{n+1/2} \left(\frac{\rho_0 g}{c^2} \left((H_0)_{i+1/2}^{n+1} - z_{i+1/2,1}^{n+1} \right) \right) \\
& (W_0)_{i+1/2,1}^{n+1} = \frac{\left((W_T)_{i+1/2}^{n+1} - (W_B)_{i+1/2}^{n+1} \right) z_{i+1/2,1}^{n+1} + \left((W_B)_{i+1/2}^{n+1} (H_0)_{i+1/2}^{n+1} - (W_T)_{i+1/2}^{n+1} \left(z_{i+1/2,N_z}^{n+1} \right) \right)}{(h_0)_{i+1/2}^{n+1}}
\end{aligned} \right.$$

Найдены все потоковые величины $\delta \theta_{i+1/2,k}^{n+1}, \delta u_{i+1/2,k}^{n+1}, \delta w_{i+1/2,k}^{n+1}, \delta \rho_{i+1/2,k}^{n+1}$

Затем найдем :

$$z_{i+1/2,1}^{n+1} = \frac{z_{i+1/2,1}^{n+1/2} - z_{i+1/2,1}^{n+1/2}}{\tau / 2}$$

И согласно используемой сетке найдем $z_{i+1/2,k}^{n+1}, k = \overline{2..N_z}$

11. Находим положение сетки на n+1 шаге по времени:

$$z_{i+1/2,k}^{n+1} = z_{i+1/2,k}^{n+1/2} + \frac{\tau}{2} \dot{z}_{i+1/2,k}^{n+1}$$

12. Найдем полные потоковые переменные

$$u = \delta u + U_0$$

$$w = \delta w + W_0$$

$$\theta = \delta \theta + \theta_0$$

$$\rho = \delta \rho + \rho_0$$

13. Фаза 3 для системы (1.1):

Аналогично фазе 1, находим $\theta_{i+1/2,k+1/2}^{n+1}, u_{i+1/2,k+1/2}^{n+1}, w_{i+1/2,k+1/2}^{n+1}, \rho_{i+1/2,k+1/2}^{n+1}$

Шаг по времени выбирается по следующей формуле:

$$\tau_{sw}^n = CFL \cdot \min_{i=1..N_x-1} \left(\frac{\Delta x}{\left| (U_0)_{i+1/2}^n \right| + \sqrt{g \cdot (h_0)_{i+1/2}^n}} \right) \quad (1.21)$$

$$\tau^n = \min \left(\tau_{sw}^n, CFL \cdot \min_{i=1..N_x-1, j=1, N_z-1} \left(\min \left(\frac{\Delta x}{\left| u_{i+1/2,j+1/2}^n \right| + c / \rho_0}, \frac{z_{i+1/2,j}^n - z_{i+1/2,j+1}^n}{\left| w_{i+1/2,j+1/2}^n \right| + c / \rho_0} \right) \right) \right)$$

Тесты

1) Возмущение на поверхности.

Начальные данные:

$$\left\{ \begin{array}{l} H(x, t=0) = \begin{cases} H_0, \text{if } |x - x_0| \geq r \\ H_0 + \frac{\alpha}{2} \left(1 + \cos \left(\frac{|x - x_0|}{r} \pi \right) \right), \text{if } |x - x_0| < r \end{cases} \\ B(x) = 0 \\ u(x, z, t=0) = 0 \\ w(x, z, t=0) = 0 \\ \rho(x, z, t=0) = \rho_0 \\ \theta(x, z, t=0) = \theta_0 \end{array} \right.$$

В приведенных ниже расчетах использовались следующие общие параметры:

Длина расчетной области $L_x = 20$. Фоновая высота $H_0 = 1$, $B(x) = 0$

Радиус возмущения $r = 0.25 \cdot L_x$, параметр отвечающий за высоту возмущения $\alpha = 0.01 \cdot H_0$,

$x_0 = 0.7 \cdot L_x$.

Остальные параметры $\rho_0 = 1, \theta_0 = 1, g = 1$.

Сетка с количеством узлов $N_x \times N_z$.

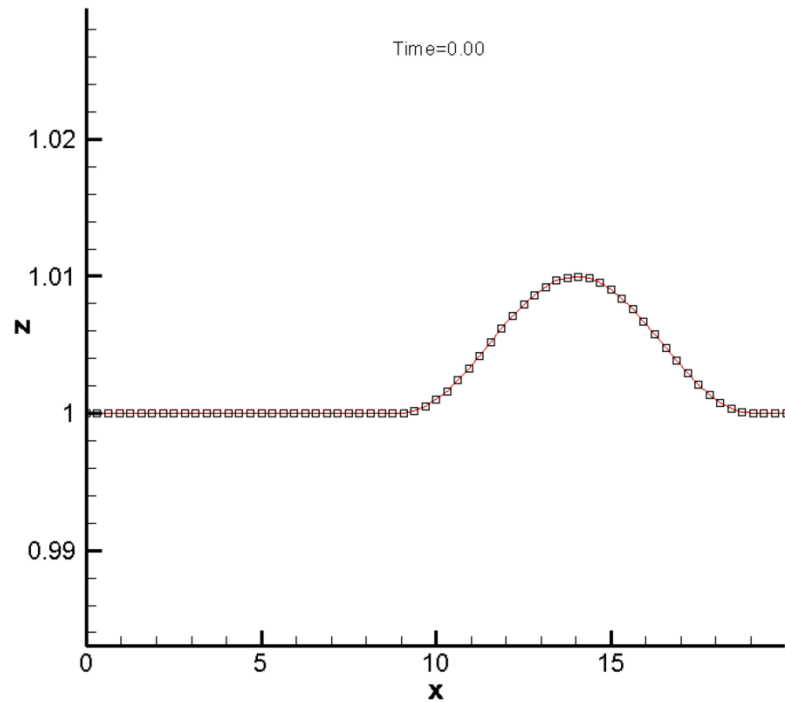
Периодические граничные условия $f(x, z, t) = f(x + L_x, z, t)$

На дальнейших примерах расчета: красным показана поверхность по мелкой воде, черными квадратами - поверхность негидростатической модели.

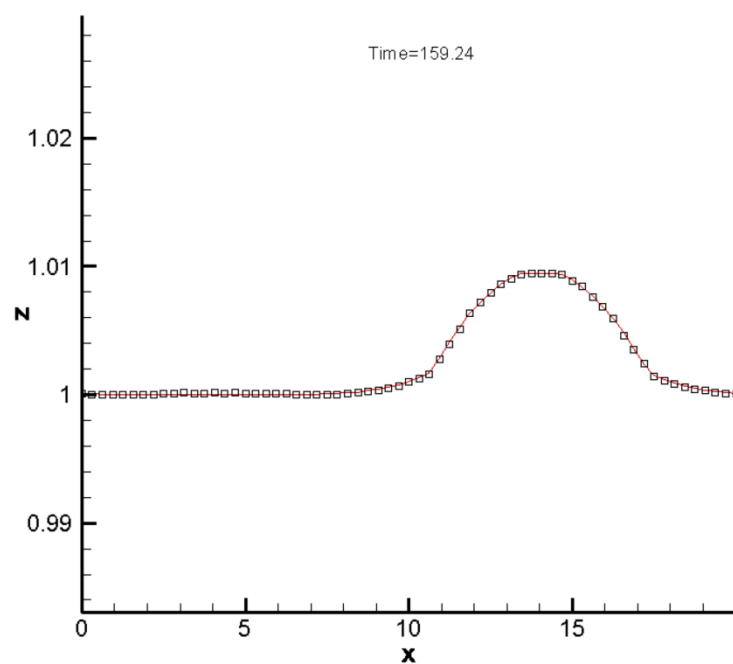
1.1. Начальный, базисный расчет со следующими параметрами:

$$N_x = 65, N_z = 2, c = \sqrt{\rho_0 g H_0}$$

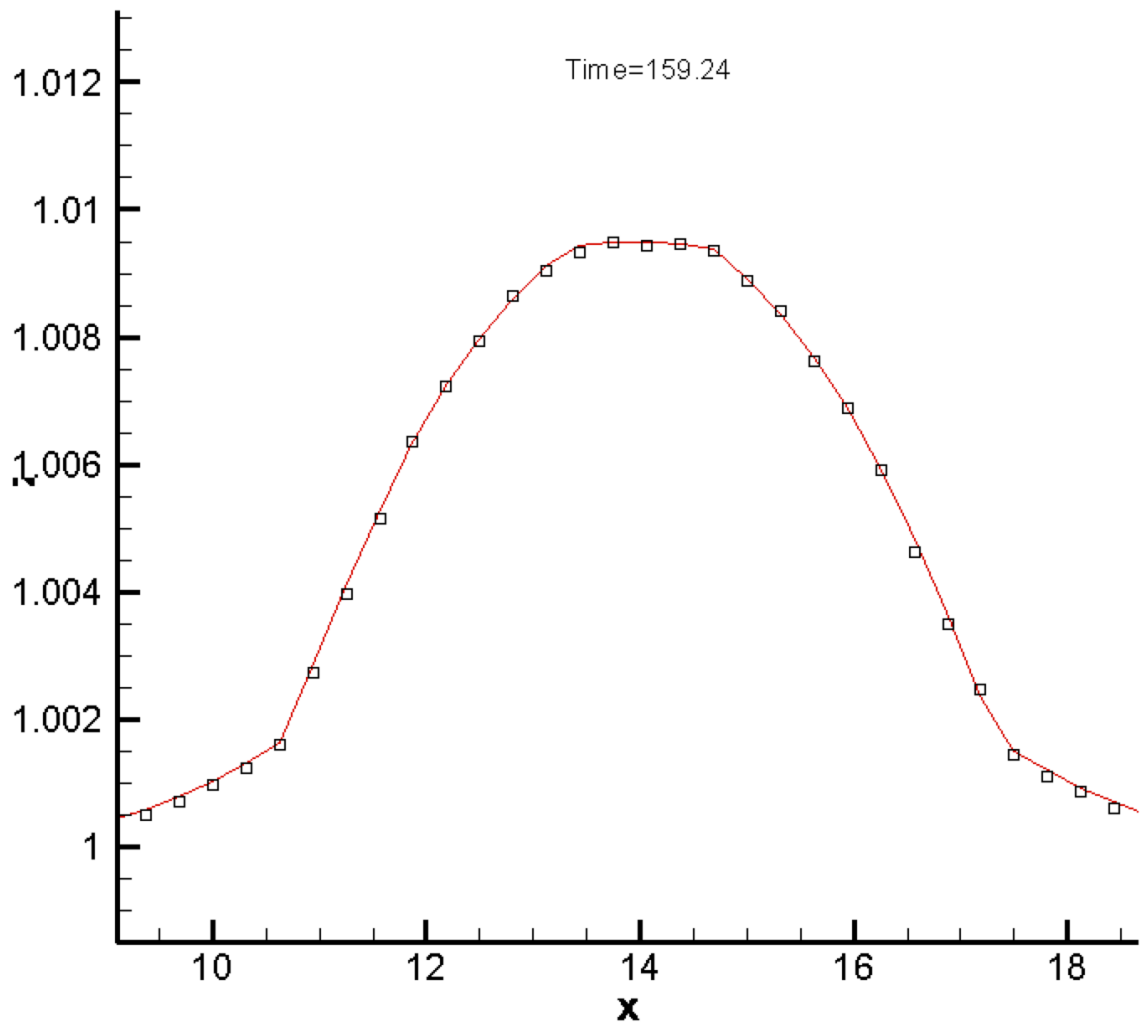
Начальное состояние:



После 10ти периодов колебаний, $t = 159$



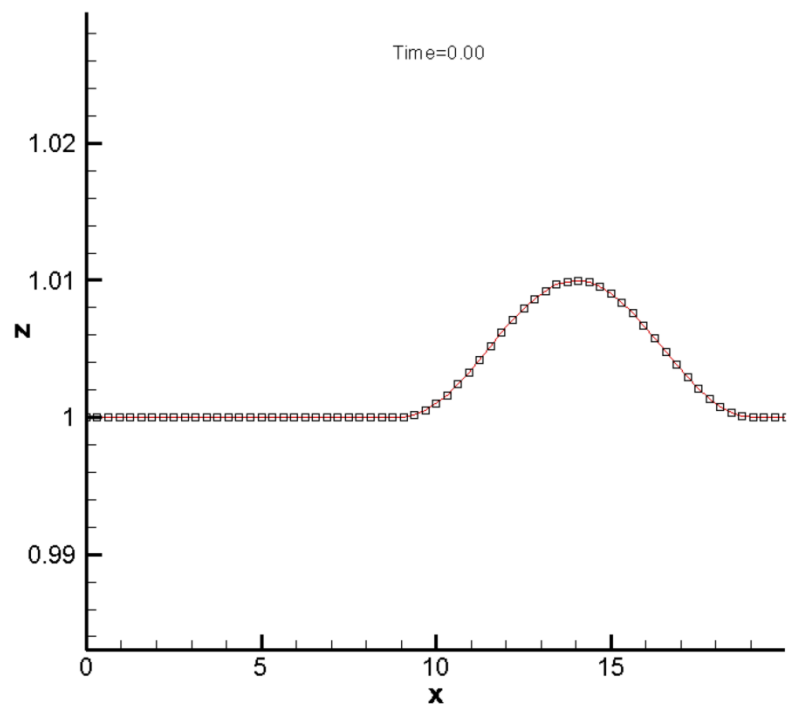
Верхняя поверхность отличается от поверхности мелкой воды($t = 159$):



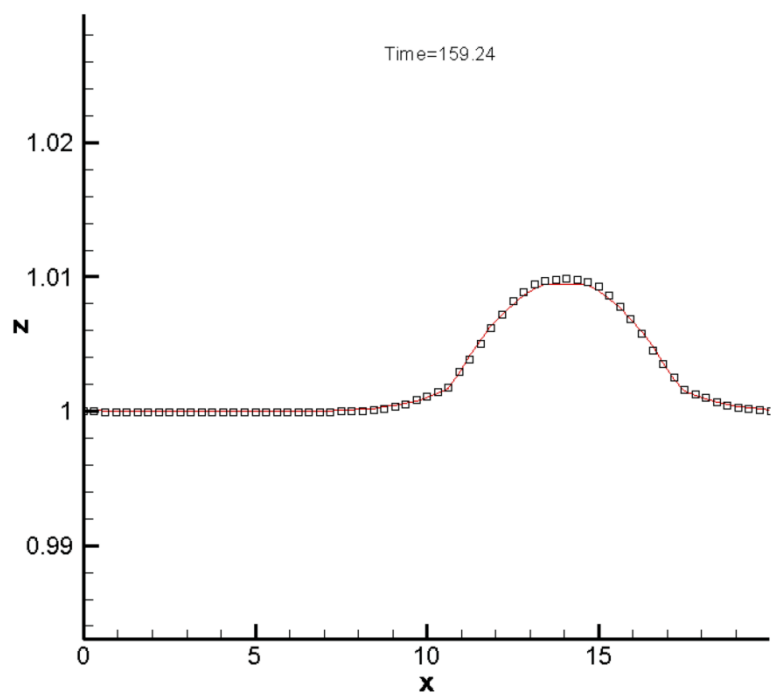
1.2. Посмотрим, как зависит решение от уменьшения параметра c в 10 раз:

$$N_x = 65, N_z = 2, c = 0.1\sqrt{\rho_0 g H_0}$$

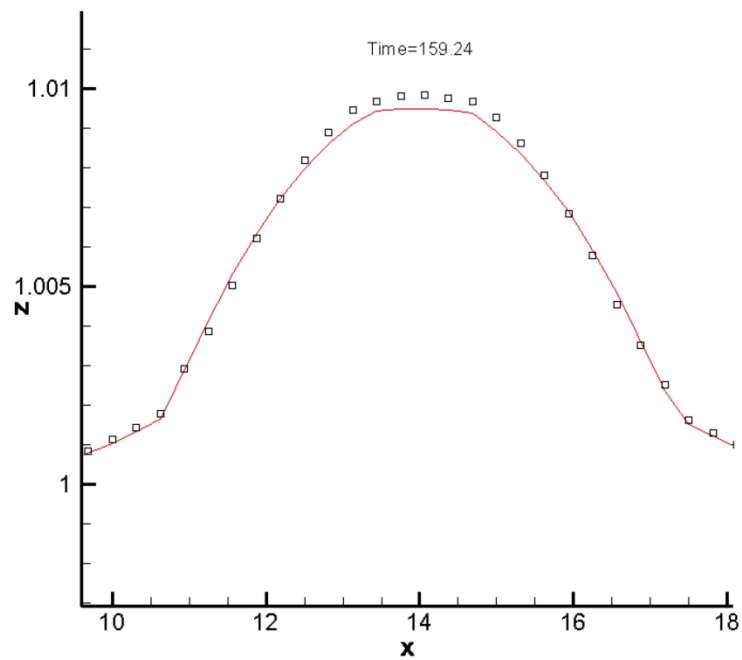
Начальное состояние:



После 10ти периодов колебаний, $t = 159$



Верхняя поверхность отличается от поверхности мелкой воды($t = 159$):

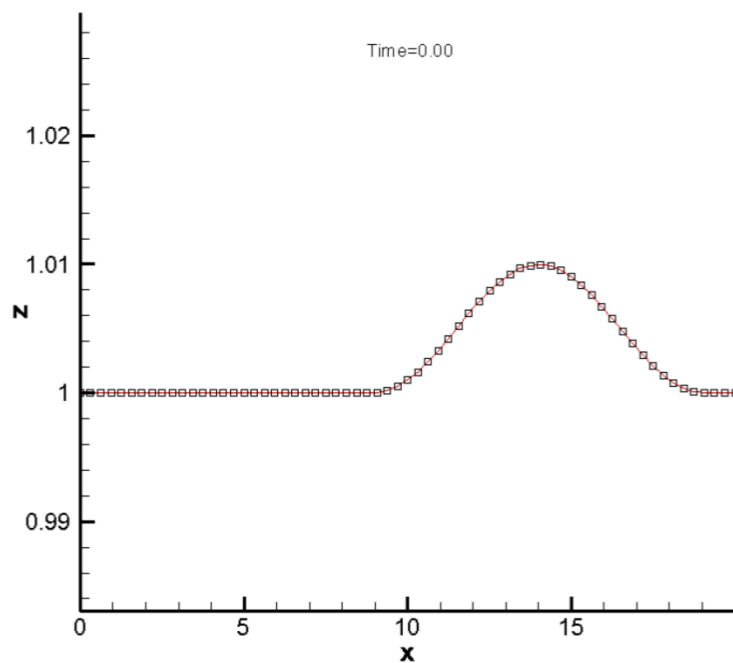


В отличие от первого теста со скоростью c сопоставимой со скоростью звука в мелкой воде, расхождение поверхностей больше, но даже при больших временах расчета поверхности ходят "синхронно".

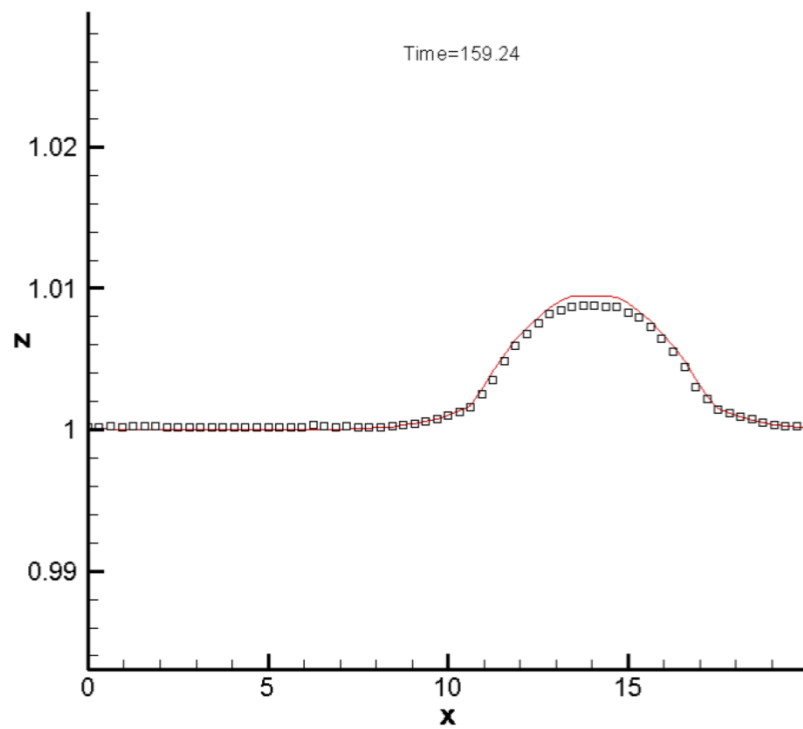
1.3. Расчет с увеличенным количеством слоев:

$$N_x = 65, N_z = 9, c = 0.1\sqrt{g\rho_0 H_0}$$

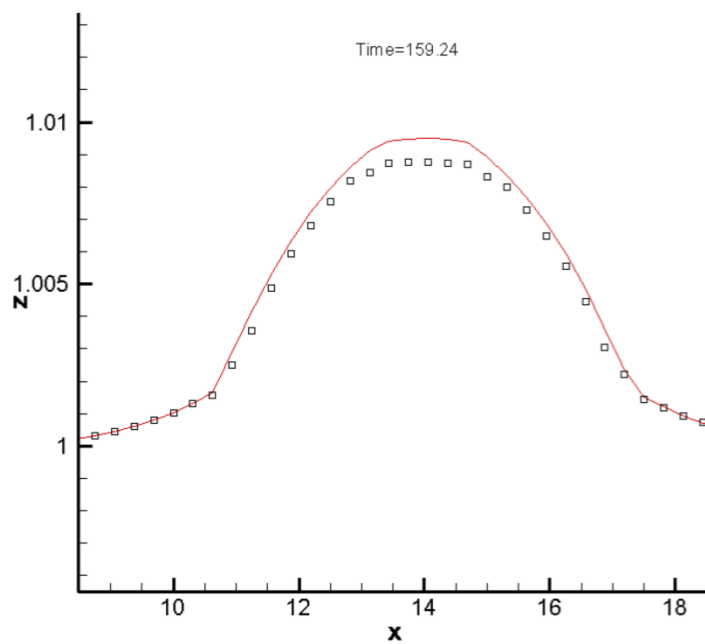
Начальное состояние:



После 10ти периодов колебаний, $t = 159$:



Верхняя поверхность отличается от поверхности мелкой воды($t = 159$):



При увеличении количества слоев расхождение поверхностей мелкой воды и негидростатики увеличивается, но "синхронность" остается.

2. Проточный тест над неровным дном

Начальные данные:

$$\left\{ \begin{array}{l} H(x, t = 0) = H_0 \\ B(x) = \begin{cases} 0, \text{if } |x - x_0| \geq r \\ \frac{\alpha}{2} \left(1 + \cos \left(\frac{|x - x_0|}{r} \pi \right) \right), \text{if } |x - x_0| < r \end{cases} \\ u(x, z, t = 0) = \frac{q_0}{H(x, 0) - B(x)} \\ w(x, z, t = 0) = 0 \\ \rho(x, z, t = 0) = \rho_0 \\ \theta(x, z, t = 0) = \theta_0 \end{array} \right.$$

В приведенных ниже расчетах использовались следующие общие параметры:

Длина расчетной области $L_x = 20$. Координата поверхности $H_0 = 1$, $x_0 = 0.5 \cdot L_x$.

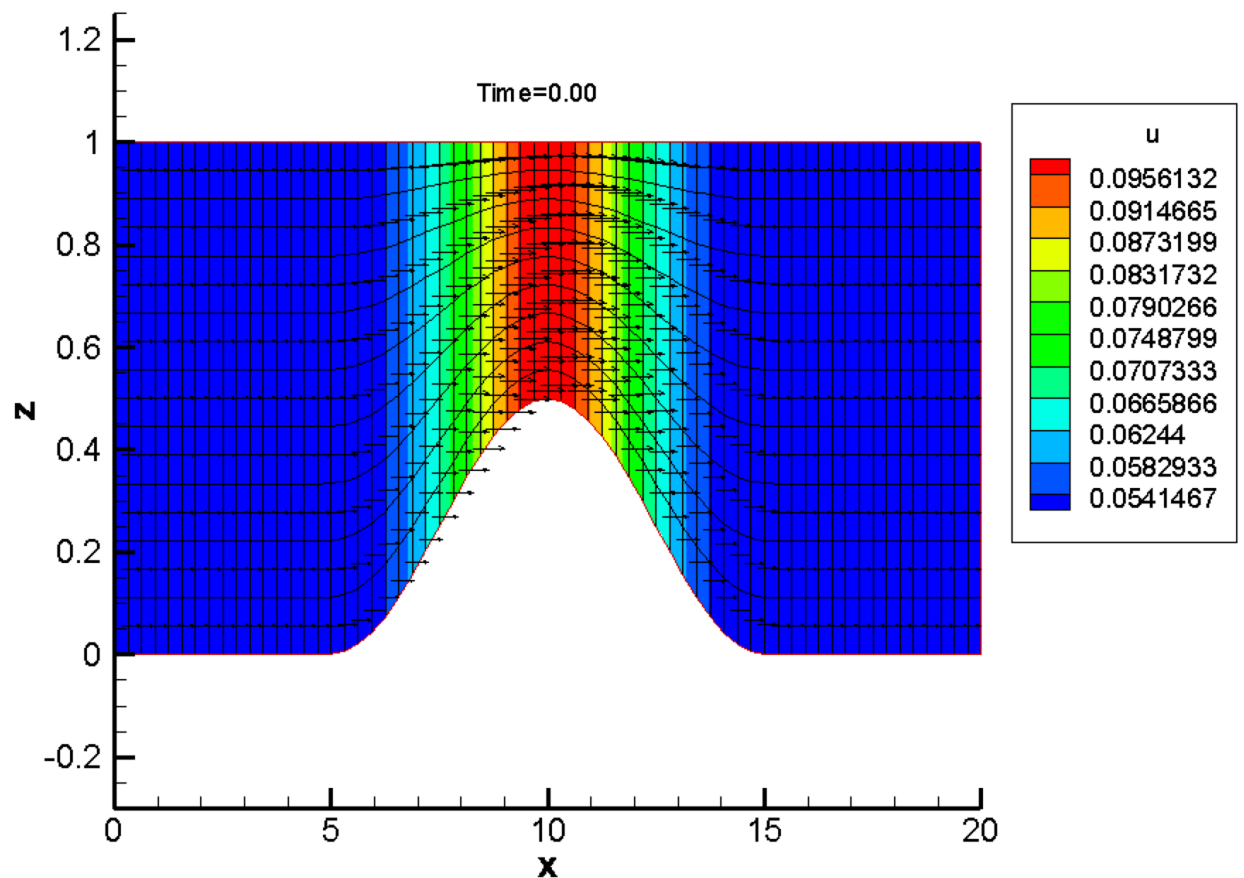
Радиус возмущения $r = 0.25 \cdot L_x$, параметр отвечающий за высоту возмущения дна $\alpha = 0.5 \cdot H_0$.

Остальные параметры $\rho_0 = 1$, $\theta_0 = 1$, $g = 1$, $q_0 = 0.1$, $CFL = 0.3$.

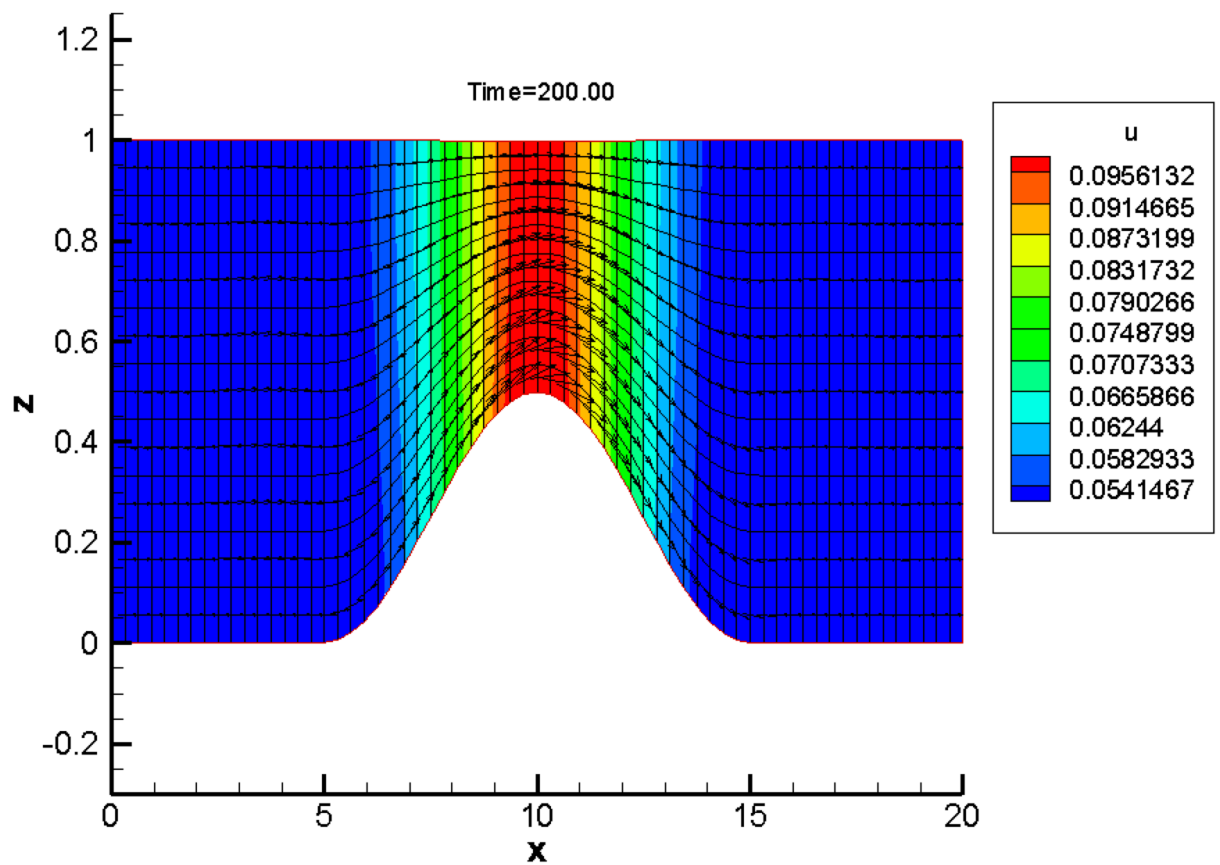
2.1. Базовый расчет

$$N_x = 65, N_z = 10, c = \sqrt{\rho_0 g H_0}$$

Начальные данные:



Состояние на момент времени $t = 200$ ($\sim 1.2 \cdot 10^4$ шагов):



Происходит выстраивание стационарного течения, стабилизируется верхняя поверхность:

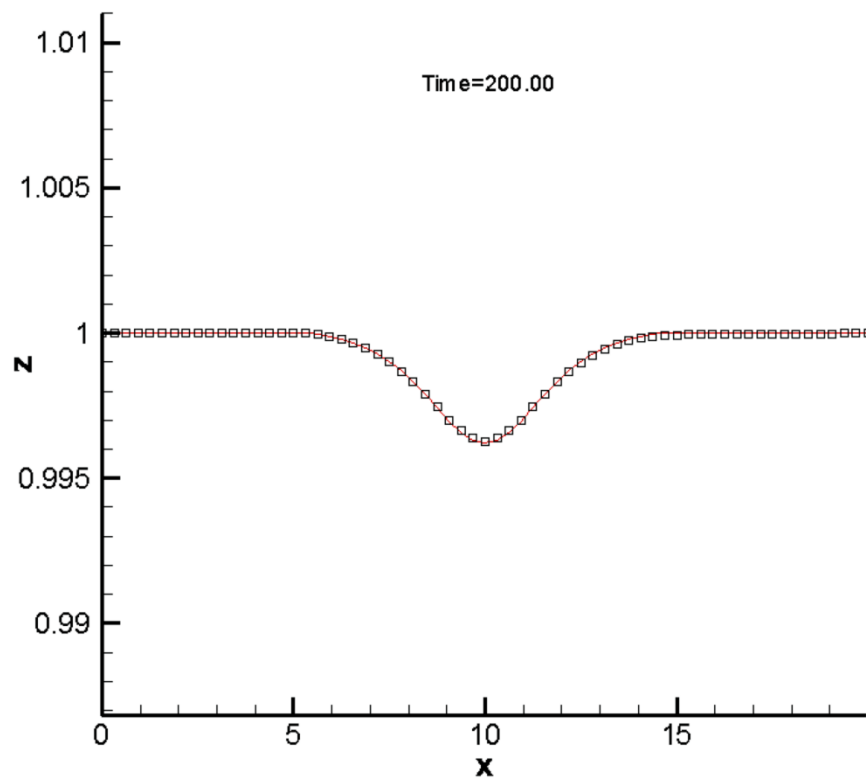
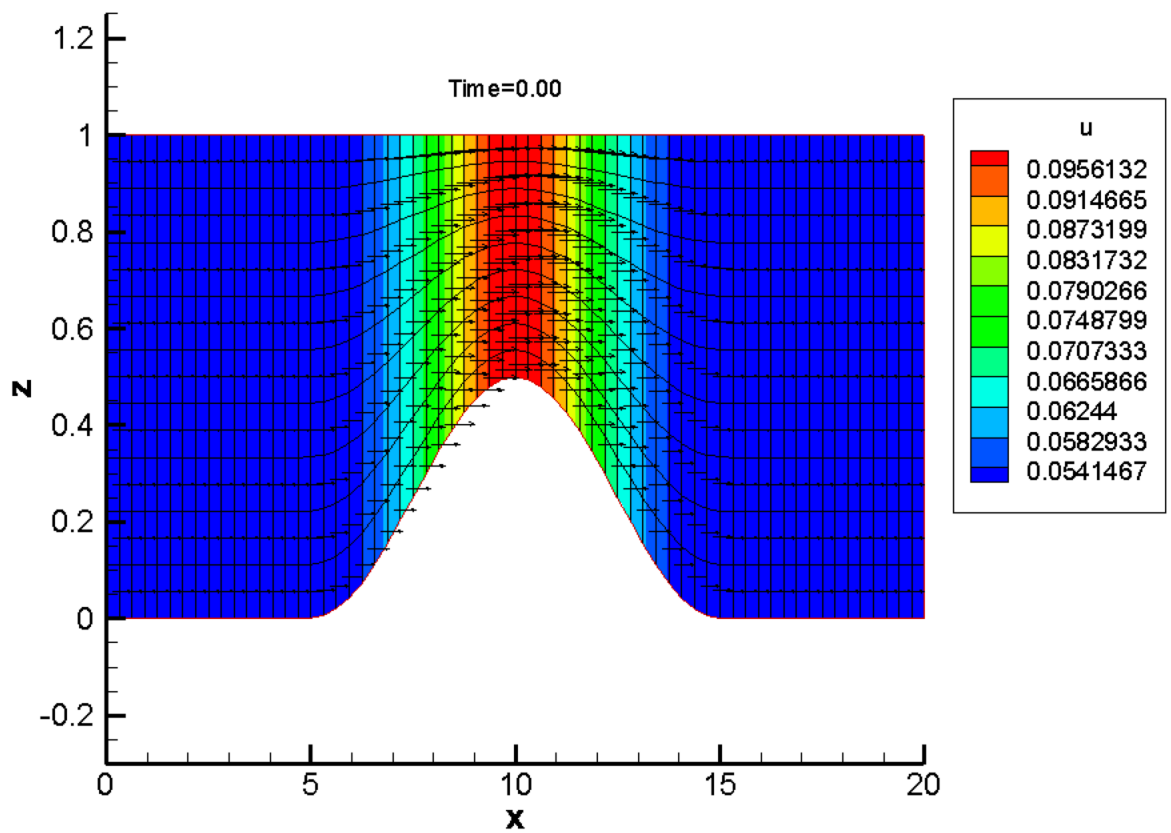


Рис.1 Положение поверхности:
красная линия - уровень по мелкой воде
черные квадраты - поверхность в негидростатике

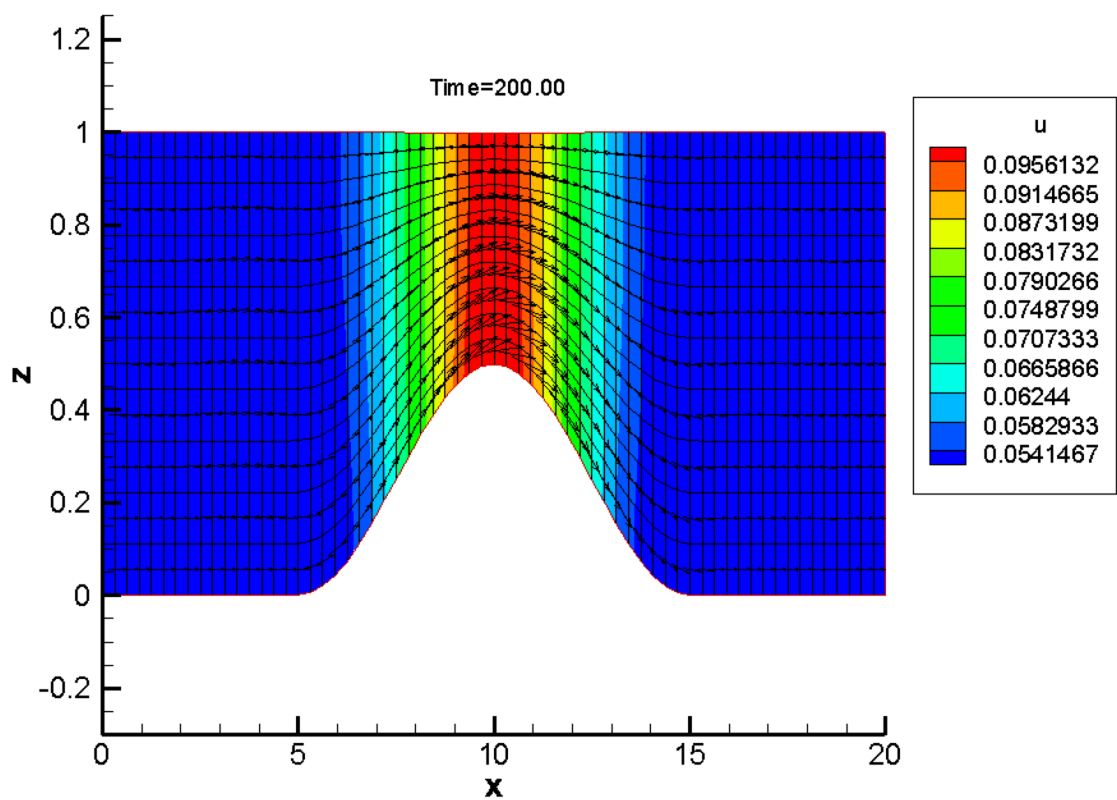
2.2. Уменьшим гидростатическую скорость звука в 5 раз:

$$N_x = 65, N_z = 10, c = 0.2 \cdot \sqrt{\rho_0 g H_0}$$

Начальные данные:



Состояние на момент времени $t = 200$ ($\sim 2.4 \cdot 10^3$ шагов):



Происходит выстраивание стационарного течения, верхняя поверхность еще не стабилизировалась:

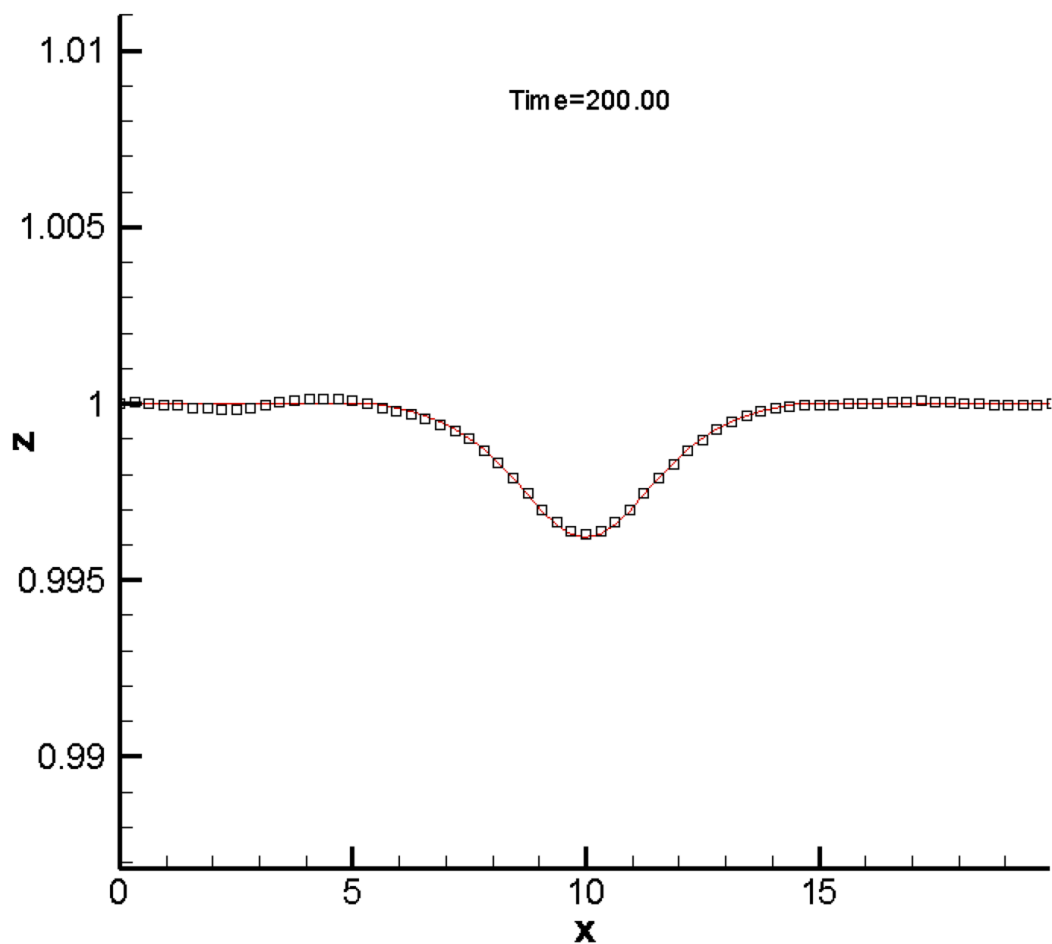


Рис.2 Положение поверхности:
красная линия - уровень по мелкой воде
черные квадраты - поверхность в негидростатике

В данном тесте шаг по времени ограничивается негидростатической системой, тесты показывают, что модель хорошо работает даже при повышении негидростатического числа маха $M = \frac{\max |u|}{c / \sqrt{\rho_0}}$ в 5 раз от $M_1 \approx 0.1$ до $M_2 \approx 0.5$ и соответствующем увеличении шага по времени в 5 раз.

3. Сравнение с аналитическим решением построенным по статье [1].

Рассматриваются следующие начальные данные:

$$\left\{ \begin{array}{l} h(x, t = 0) = 1 + \frac{1}{\pi} \left(\frac{\pi}{2} + \arctan \left(\frac{N \left(x - \frac{1}{3} L_x \right)}{L_x} \right) \right) \\ B(x) = b_0 - h(x, 0) - \frac{(\alpha \beta)^2}{2g \sin^2(\beta \cdot h(x, 0))} \\ u(x, z, t = 0) = \frac{\alpha \beta}{\sin(\beta \cdot h(x, 0))} \cos(\beta(z - B(x))) \\ w(x, z, t = 0) = \alpha \beta \left(\frac{\partial B}{\partial x} \cdot \frac{\cos(\beta(z - B(x)))}{\sin(\beta \cdot h(x, 0))} + \frac{\partial h(x, 0)}{\partial x} \cdot \frac{\sin(\beta(z - B(x))) \cos(\beta \cdot h(x, 0))}{\sin^2(\beta \cdot h(x, 0))} \right) \\ \rho(x, z, t = 0) = \rho_0 = 1 \\ \theta(x, z, t = 0) = \theta_0 \end{array} \right. \quad (1.22)$$

Во всех тестах $\theta_0 = 1, g = 9.8, N = 50, \beta = 1, b_0 = 0, L_x = 20$.

Согласно статье [1] начальные данные (1.22) удовлетворяют стационарной системе уравнений Эйлера.

Сами тесты будут вставлены позже, когда будет удовлетворительный результат

Список литературы:

1. Boulanger, Anne-Céline & Sainte-Marie, Jacques. (2013). Analytical solutions for the free surface hydrostatic Euler equations. Communications in Mathematical Sciences. 11. 10.4310/CMS.2013.v11.n4.a5.